

Vorlesung 15.

Entstehung vom chaotischen Attraktor im Phasenraum der Lorenz-Gleichungen





Eigenschaften von Lorenz-Gleichungen

$$\dot{x} = \sigma(y - x)$$

$$\dot{y} = rx - y - xz$$

$$\dot{z} = xy - bz,$$



- ▷ $\operatorname{div}(\mathbf{f}) = -\sigma - 1 - b = \text{const} < 0 \rightarrow$ *Phasenvolumen jeder Menge von Anfangsbedingungen schrumpft exponentiell im Laufe der Zeit.*
- ▷ Dissipativität (Anwesenheit von einem absorbierenden Gebiet im Phasenraum).
- ▷ **Symmetrie** bezüglich der Transformation $\left\{ \begin{array}{l} x \rightarrow -x \\ y \rightarrow -y \end{array} \right\}$.



Attraktoren von Lorenz-Gleichungen

$$\dot{x} = \sigma(y - x)$$

$$\dot{y} = rx - y - xz$$

$$\dot{z} = xy - bz,$$

Bei $r < 1$: Gleichgewicht $x=y=z=0$ ist global asymptotisch stabil.

Bei $r = 1$: superkritische Heugabel-Bifurkation.

Bei $1 < r < r_{AH}$: die Attraktoren sind zwei **symmetrische** Gleichgewichte
mit $x = y = \pm\sqrt{b(r-1)}$, $z = r - 1$.

Bei $r = r_{AH} = \sigma \frac{\sigma + b + 3}{\sigma - b - 1}$: **subkritische** Andronov-Hopf Bifurkation.

Bei „kanonischen“ Parameterwerten ($\sigma = 10$, $b = 8/3$), $r_{AH} = 24.7368\dots$

Bei $r > r_{AH}$: **chaotischer Attraktor**.

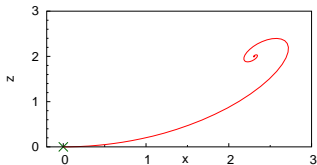
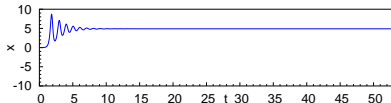
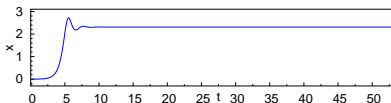
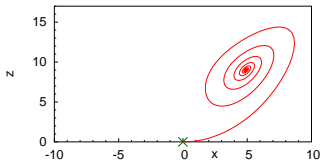
Eigentlich sind chaotische Schwingungen schon ab etwa $r \approx 24.06$ zu sehen;
im Intervall $24.06 < r < r_{AH}$ koexistieren sie mit (noch) stabilen Gleichgewichten.

Frage: wie entsteht im Phasenraum der chaotische Attraktor?



Wir integrieren die Lorenz-Gleichungen *numerisch* für unterschiedliche Werte von r ,
mit immer demselben Anfangspunkt
in unmittelbarer Nähe vom instabilen Gleichgewicht $x=y=z=0$ (auf den Plots durch *Kreuz*
gekennzeichnet).

Dies gibt uns Aufschluss über die Veränderungen in der Geometrie
der instabilen Mannigfaltigkeit von diesem Gleichgewicht.

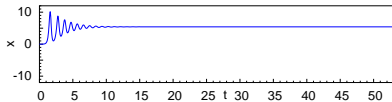
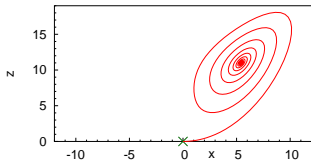
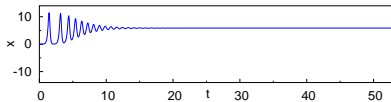
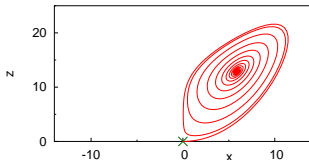
 $r = 3$  $r = 10$ 

In beiden Fällen wickelt sich die Mannigfaltigkeit auf ein Gleichgewicht
(*stabiler Fokus-Punkt*) im Halbraum $x > 0$.

Beim größeren Wert von r ist die erste „Umdrehung“ deutlich größer .



Wir integrieren die Lorenz-Gleichungen *numerisch* für unterschiedliche Werte von r ,
mit immer demselben Anfangspunkt
in unmittelbarer Nähe vom instabilen Gleichgewicht $x=y=z=0$.
Dies gibt uns Aufschluss über die Veränderungen in der Geometrie
der instabilen Mannigfaltigkeit von diesem Gleichgewicht.

 $r = 12$  $r = 13.9$ 

Die Mannigfaltigkeit wickelt sich weiterhin auf einen stabilen Fokus mit $x > 0$.
Nach der ersten Umdrehung kommt der Orbit immer näher zum Ursprung.

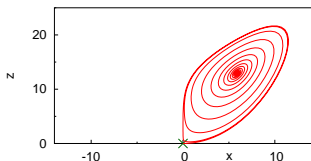


Wir integrieren die Lorenz-Gleichungen *numerisch* für unterschiedliche Werte von r ,
mit immer demselben Anfangspunkt

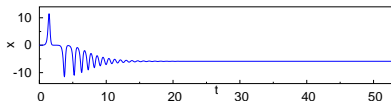
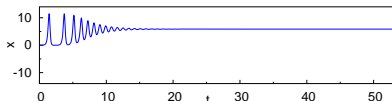
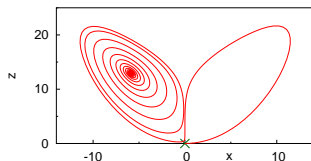
in unmittelbarer Nähe vom instabilen Gleichgewicht $x=y=z=0$.

Dies gibt uns Aufschluss über die Veränderungen in der Geometrie
der instabilen Mannigfaltigkeit von diesem Gleichgewicht.

$r = 13.926$



$r = 13.927$

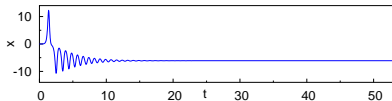
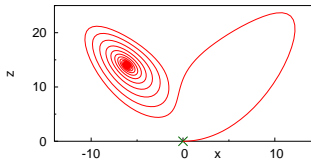
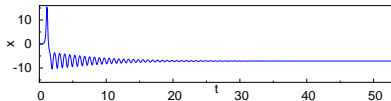
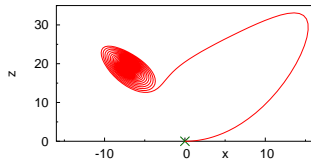


Umschaltung der Asymptotik: vom *stabilen Fokus* im Halbraum $x > 0$
zum *symmetrischen Fokus* im Halbraum $x < 0$.

Dazwischen kehrt die instabile Mannigfaltigkeit exakt zurück zum Ursprung
und bildet damit eine biasymptotische Trajektorie: die **Homokline**.



Wir integrieren die Lorenz-Gleichungen *numerisch* für unterschiedliche Werte von r ,
mit immer demselben Anfangspunkt
in unmittelbarer Nähe vom instabilen Gleichgewicht $x=y=z=0$.
Dies gibt uns Aufschluss über die Veränderungen in der Geometrie
der instabilen Mannigfaltigkeit von diesem Gleichgewicht.

 $r = 15$  $r = 20$ 

Die Mannigfaltigkeit wickelt sich weiterhin auf einen stabilen Fokus mit $x < 0$.
Dabei wird die Spirale zum Fokus immer enger.

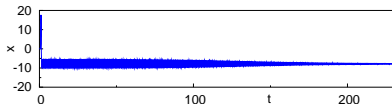
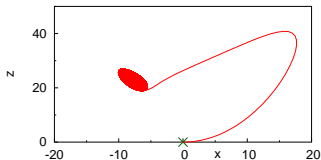


Wir integrieren die Lorenz-Gleichungen *numerisch* für unterschiedliche Werte von r ,
mit immer demselben Anfangspunkt

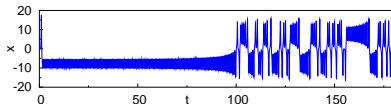
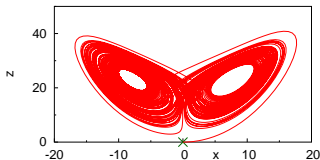
in unmittelbarer Nähe vom instabilen Gleichgewicht $x=y=z=0$.

Dies gibt uns Aufschluss über die Veränderungen in der Geometrie
der instabilen Mannigfaltigkeit von diesem Gleichgewicht.

$r = 24.05$



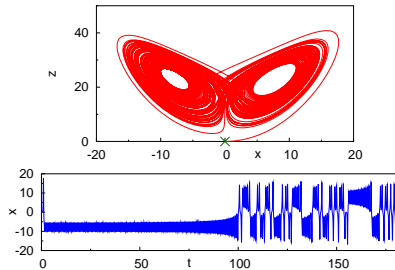
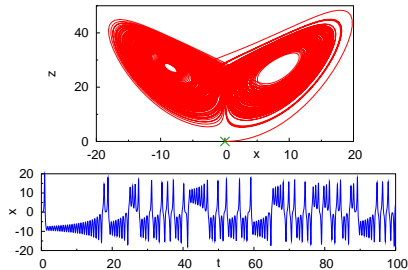
$r = 24.07$



Die nächste Umschaltung: statt sich auf den Fokus aufzuwickeln (linkes Bild),
erst rollt die Spirale langsam nach außen ab,
und dann beginnen die chaotische Oszillationen (rechtes Bild).



Wir integrieren die Lorenz-Gleichungen *numerisch* für unterschiedliche Werte von r ,
mit immer demselben Anfangspunkt
in unmittelbarer Nähe vom instabilen Gleichgewicht $x=y=z=0$.
Dies gibt uns Aufschluss über die Veränderungen in der Geometrie
der instabilen Mannigfaltigkeit von diesem Gleichgewicht.

 $r = 24.07$  $r = 28$ 

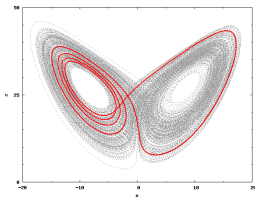
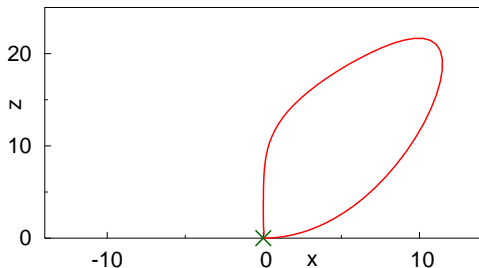
Das klassische Bild vom chaotischen Lorenz-Attraktor im Phasenraum:
der Übergang ist vollzogen.



Homoclinic bifurcation

$$R = 13.926 \dots$$

Da die Homokline eine geschlossene Phasenbahn ist, hinterlässt deren Zerfall einen periodischen Orbit.

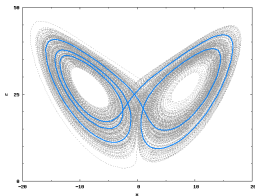
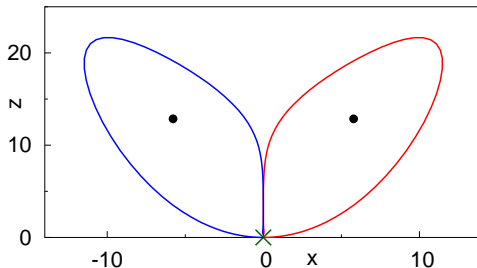




Homoclinic bifurcation

$$R = 13.926 \dots$$

Wegen der Spiegelsymmetrie der Gleichungen, existieren die Homoklinen im Phasenraum immer paarweise.



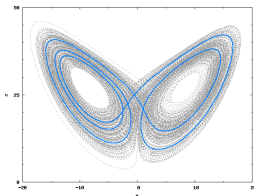
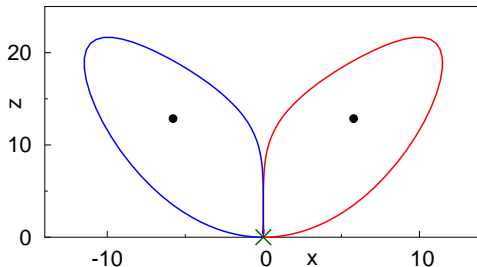
Beim Zerfall vom Homoklinenpaar entsteht eine unendliche Zahl von periodischen Orbits. Diese Orbits unterscheiden sich voneinander durch die **Anzahl und Reihenfolge** vom Umdrehungen im Phasenraum links und rechts vom instabilen Gleichgewicht.



Homoclinic bifurcation

$$R = 13.926 \dots$$

Wegen der Spiegelsymmetrie der Gleichungen, existieren die Homoklinen im Phasenraum immer paarweise.



Wir führen **binäre symbolische Dynamik** ein:

jede Umdrehung **links** vom Ursprung $\rightarrow L$,

jede Umdrehung **rechts** vom Ursprung $\rightarrow R$.

z.B. *Label* des Orbits am linken Bild: ***RRLLL***.

Nach dem Zerfall vom Homoklinen-Paar entstehen im Phasenraum

instabile periodische Bahnen mit **allen** binären symbolischen Labels:

eine **unendliche** Menge von UPOs:

von kürzesten (1 Umdrehung im Phasenraum) ***L*** und ***R***

bis zu beliebig langen, mit entsprechend langen binären *Labels*.

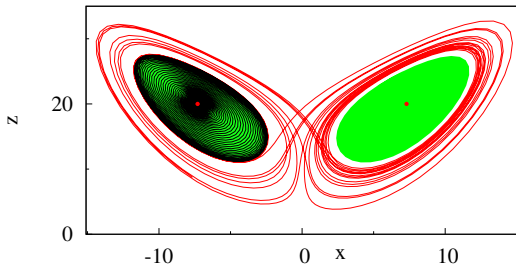


- ▷ Entstehung bei $r = r_{\text{hom}} = 13.926$ und *sofortiger* Zerfall vom symmetrischen Paar der Homoklinen hinterlassen im Phasenraum eine unendliche Anzahl (*abzählbare* Menge) von *instabilen periodischen Bahnen*.
- ▷ Diese Bahnen bilden eine Gerippe (*skeleton*) für ein *Kontinuum* von *chaotischen Phasentrajektorien*, eine Art Baugerüst für den zukünftigen chaotischen Attraktor.
- ▷ Warum „zukünftigen“?
Weil dieses Kontinuum als ganzes sofort nach seiner Geburt noch *instabil* ist: es enthält „Löcher“ (Lücken), durch die die Trajektorien durchfallen um dann zu anderen Attraktoren (stabilen Gleichgewichten) zu entlaufen.
- ▷ In diesem Bereich von r -Werten existiert *“metastable chaos”*: für typische Anfangsbedingungen beobachtet man eine Zeit lang *ungeordnete Schwingungen*, die plötzlich in eine schnelle Relaxation zum stabilen Gleichgewicht übergehen.
- ▷ Früher oder später, nach mehreren Umschwungen zwischen $x > 0$ und $x < 0$, kommt jede *chaotische* Trajektorie in den lokalen Einzugsgebiet von einem der Gleichgewichte und endet dort als eine Spirale “nach innen”.

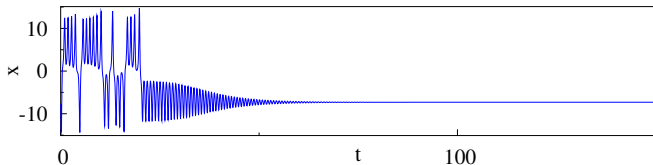


Wir integrieren die Lorenz-Gleichungen *numerisch* für unterschiedliche Werte von r ...

$r = 21$



grüne Flächen:
Einzugsbereiche von
stabilen nichttrivialen
Gleichgewichten

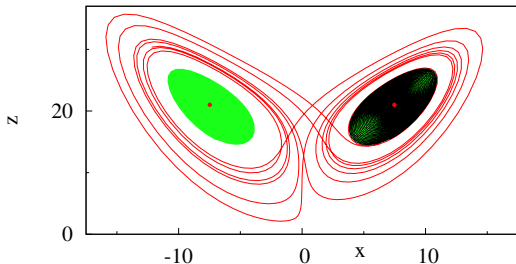


Auf die anfänglichen “chaotischen” Oszillationen folgen gedämpfte Schwingungen um stabiles Gleichgewicht.

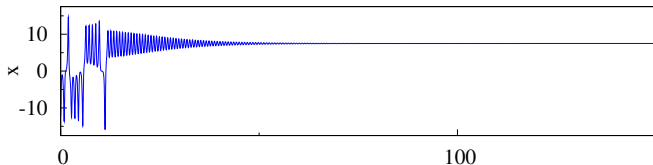


Wir integrieren die Lorenz-Gleichungen *numerisch* für unterschiedliche Werte von r ...

$r = 22$



grüne Flächen:
Einzugsbereiche von
stabilen nichttrivialen
Gleichgewichten

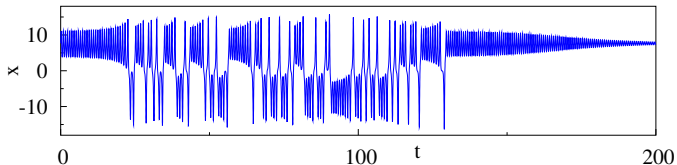
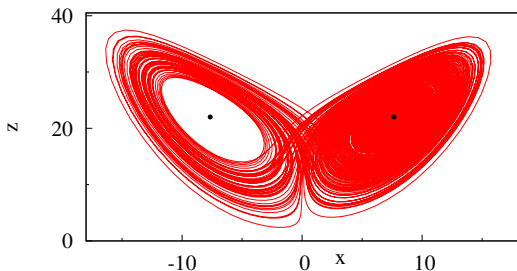


Auf die anfänglichen “chaotischen” Oszillationen folgen gedämpfte Schwingungen um stabiles Gleichgewicht.



Wir integrieren die Lorenz-Gleichungen *numerisch* für unterschiedliche Werte von r ...

$r = 23$



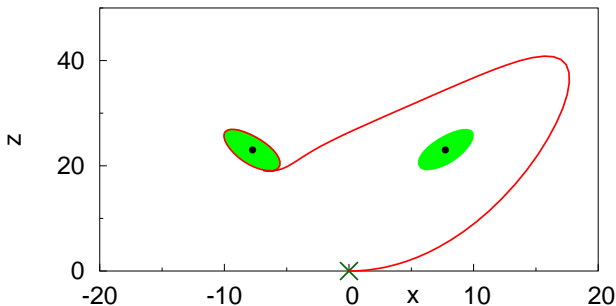
Mit dem Wachstum von r
wird die vorübergehende chaotische Phase immer länger.



eine *heterokline*: vom Sattelpunkt zum instabilen Grenzzyklus

Wir integrieren die Lorenz-Gleichungen *numerisch* für unterschiedliche Werte von r ...

$$r = 24.0579$$



grüne Flächen:
Einzugsbereiche von
stabilen nichttrivialen
Gleichgewichten

Bei diesem Wert von r endet im Phasenraum die instabile Mannigfaltigkeit vom trivialen Gleichgewicht $(0, 0, 0)$ unmittelbar an der instabilen periodischen Lösung, die im Phasenraum den Einzugsbereich des (noch stabilen) Fokuspunktes abgrenzt. Bei höheren Werten von r werden die chaotischen Schwingungen nicht mehr aufhören: vorläufiges Chaos wird zum endgültigen Chaos.



- ▷ Entstehung bei $r = r_{\text{hom}} = 13.926$ und *sofortiger* Zerfall vom symmetrischen Paar der Homoklinen hinterlassen im Phasenraum eine unendliche Anzahl (*abzählbare* Menge) von *instabilen periodischen Bahnen*.

Diese Bahnen bilden eine Gerippe (*skeleton*) für ein *Kontinuum* von *chaotischen Phasentrajektorien*, eine Art Baugerüst für den zukünftigen chaotischen Attraktor. Warum „zukünftigen“?

Weil dieses Kontinuum als ganzes sofort nach seiner Geburt noch *instabil* ist: es enthält „Löcher“ (Lücken), durch die die Trajektorien durchfallen um dann zu anderen Attraktoren (stabilen Gleichgewichten) zu entlaufen.

In diesem Bereich von r -Werten existiert *“metastable chaos”*: für typische Anfangsbedingungen beobachtet man eine Zeit lang *ungeordnete Schwingungen*,

die plötzlich in eine schnelle Relaxation zum stabilen Gleichgewicht übergehen.

Mit Wachstum von r wächst auch die Lebenszeit der *chaotischen Transiente*, dafür wird die nachfolgende Relaxation zum Gleichgewicht etwas langsamer.

Bei $r = 24.0579$ schließen sich die „Lücken“, dadurch wird die chaotische Menge stabilisiert: sie wird zum *chaotischen Attraktor*.